MINISTÉRIO DE MINAS E ENERGIA
SECRETARIA DE GEOLOGIA, MINERAÇÃO E TRANSFORMAÇÃO MINERAL
CPRM - SERVIÇO GEOLÓGICO DO BRASIL

CARTA GEOLÓGICA
FOLHA NOVA ROMA - SD.23-V-C-VI
ESCALA 1:100.000
UNB/FINATEC/CPRM 2007

SD.23-V-C-VI - NOVA ROMA

PROGRAMA GEOLOGIA DO BRASIL
CARTA GEOLÓGICA - ESCALA 1:100.000

ENCARTE TECTÔNICO

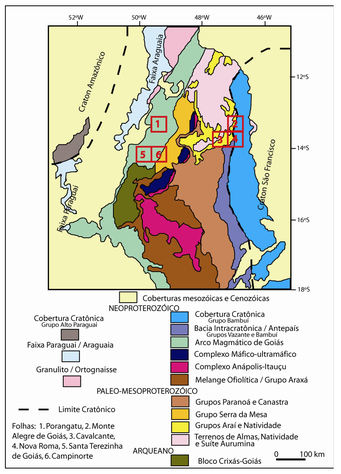

MAGNETOMETRIA

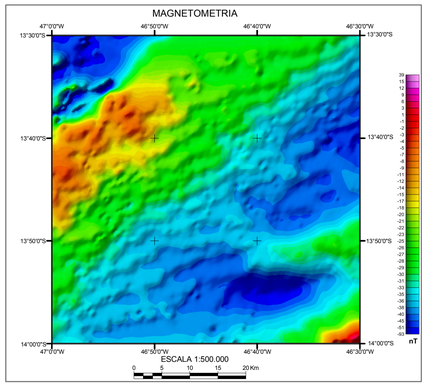

MODELO DIGITAL DO TERRENO

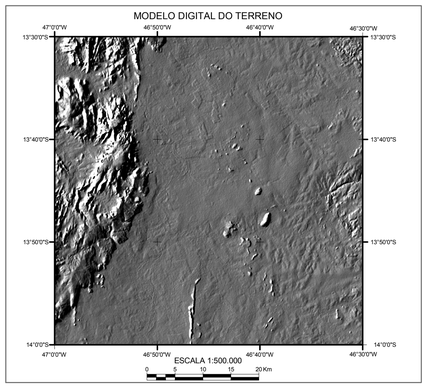

FUSÃO GEOLOGIA X MDT

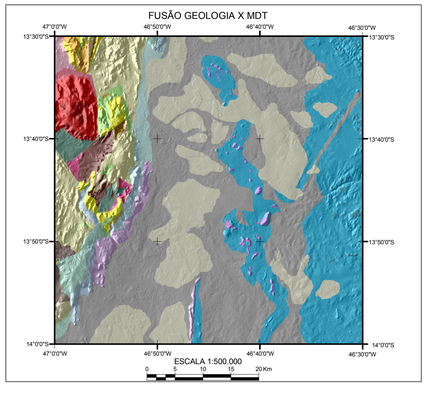

LEGENDA
RELAÇÕES TECTONO-ESTRATIGRÁFICAS

Era	Período	IDADE (Ma)	Domínio Rifte, intraplaca, transamazônico	Domínio cratônico ou de antepaís
Cenozóica	Neógeno	23		N34dl Cobertura detrito-laterítica
Neoproterozóica	Criogeniano	~ 630		Grupo Bambuí: NP2ij, NP2ijd, NP2ijc — Fm. Lagoa do Jacaré; NP2sh — Fm. Serra de Sta. Helena; NP2sl, NP2slc, NP2slm — Fm. Sete Lagoas; NP12jt — Fm. Jequitaí
	Toniano	850		
Mesoproterozóica	Esteniano	1000		
	Ectasiano	1200		
	Calimiano	1400		
Paleoproterozóica	Estateriano	1600	PP4vpb1, PP4vpb2 — Suíte Pedra Branca	Grupo Araí: PP4tq, PP4ts1 — Fm Traíras; PP4aqa, PP4aqo, PP4aqf, PP4aqs, PP4aβ, PP4ao, PP4as, PP4ac — Fm Arraias
	Orosiriano	1800		
	Riaciano	2050	PP2y2au1, PP2y2au2, PP2y2au3 — Suíte Aurumina	PP2y3nr — Qz-diorito Nova Roma
	Sideriano	2300	PP1tzx — Fm Ticunzal	
		2500		

UNIDADES GEOLÓGICAS

CENOZÓICO

NEÓGENO

N34dl — Argilas, areias avermelhadas e lateritas

NEOPROTEROZÓICO (NP)

GRUPO BAMBUÍ

Formação Lagoa do Jacaré

NP2ij — Indiferenciada: Intercalações de siltito e calcário cinza escuro, freqüentemente oolítico.

NP2ijd — Dolomito: Dolarenito, brecha dolomítica, dolomito estromatolítico.

NP2ijc — Calcário: Calcarenito oolítico e psolítico de cor cinza escuro, com calcilutito subordinado.

Formação Serra de Santa Helena

NP2sh — Siltito argiloso laminado cinza esverdeado quando fresco. Ritmitos finos com intercalações de lâminas de siltito maciço e arenito muito fino com mica branca detrítica.

Formação Sete Lagoas

NP2sl — Indiferenciada: Associação de marga, siltito, calcário e calcário dolomítico e dolomito.

NP2sld — Dolomito: Dolomito laminado, dolarenito, brecha dolomítica e dolomito maciço. Esta fácies está geralmente recristalizada e venulada, mascarando as estruturas primárias.

NP2slc — Calcário: Calcário e calcário argiloso cinza com intercalações subordinadas de marga.

NP2slm — Marga: Marga e siltito calcífiero com calcário e calcário argiloso subordinado.

Formação Jequitaí

NP12jt — Indiferenciada: Diamictito com rara intercalação de pelito e arenito. Inclui fragmentos de quartzito, granito, quartzo- xisto, basalto etc., sustentados por matriz siltosa com grãos esparsos de quartzo, feldspato etc.

PALEOPROTEROZÓICO (PP)

GRUPO ARAÍ

Formação Traíras

PP4tq — Quartzito: Quartzito arcoseano laminado e em bancos com estratificações cruzadas.

PP4ts1 — Siltito um: Siltito e metassiltito maciço e laminado com marcas onduladas e laminações cruzadas.

Formação Arraias

PP4aqa — Quartzito arcoseano: Quartzito arcoseano em bancos internamente laminados com ocasionais marcas onduladas e estratificações cruzadas decimétricas a métricas.

PP4aqo — Ortoquartzito: Ortoquartzito médio a grosso com grãos bem arredondados e esféricos com freqüentes estratificações cruzadas superiores a um metro.

PP4aqf — Quartzito feldspático: Quartzito médio a grosso feldspático. Ocasionalmente dominam ortoquartzitos na base da unidade.

PP4aqs — Quartzito seixoso: Quartzito feldspático muito grosso a grosso com sixos esparsos e lentes centimétricas de conglomerados.

PP4aβ — Metabasaltos: Metabasaltos com amígdalas ocasionais.

PP4ao — Metavulcânicas ácidas: Metariolito rosa a esbranquiçado com feições de fluxo magmático, fenocristais de KF e de quartzo idiomórficoS. Metariodacito cinza escuro com fenocristas de plagioclásio e raros quartzo. Metapiroclástica com predominância de metatufo E metalapilitufo. São comuns intercalções de quartzitos. 1771 Ma

PP4as — Siltito: Alternância de metassiltitos com quartzitos finos.

PP4ac — Conglomerado: Metaconglomerado suportado por matriz ou clasto. Inclui seixo de granito, metavulcânica ácida, quartzo e quartzito. Camadas de quartzito ocorrem intercaladaS.

SUÍTE PEDRA BRANCA

PP4vpb1 — Monzogranito: Biotita monzogranito, biotita sienogranito com fácies rapakivi e granofírica. 1769 Ma

PP4vpb2 — Sienogranito: Biotita sienogranito, Li-siderofilita granito, zinwaldita-Li-muscovita-albita-topázio granito portadores de zonas albitizadas e/ou greisenizadas e depósitos de Sn, F, In.

Quartzo- diorito Nova Roma

PP2y3nr — Biotita-anfibólio-quartzo diorito. 2140 Ma

SUÍTE AURUMINA

PP2y2au3 — Tonalito: Leucotonalito, granada-biotita tonalito, muscovita-biotita tonalito com raro anfibólio. 2145 Ma

PP2y2au2 — Monzogranito: Biotita-muscovita ou muscovita-biotita sieno a monzogranito com monazita.

PP2y2au1 — Sienogranito: Biotita-muscovita sienogranito com domínios mais jovens de turmalina-muscovita-albita granito, pegmatitos e albititos com Sn e Ta. 2155 Ma

Formação Ticunzal

PP1tzx — Xisto: Biotita-muscovita-quartzo xisto, muscovita-clorita-quartzo xisto,com grafita e granada.

CONVENÇÕES GEOLÓGICAS

- Contato
- Falha indiscriminada
- Falha ou fratura aproximada
- Falha ou zona de cisalhamento compressional
- Lineamentos estruturais: traços de superfícies S
- Anticlinal ou antiforme
- Anticlinal ou antiforme normal com caimento indicado
- Sinclinal ou sinforme
- Sinclinal ou sinforme normal com caimento indicado
- Sinforme invertido
- Foliação
- Foliação tipo C
- Foliação tipo S
- Foliação vertical
- Lineação B (eixo de dobra)
- Lineação B (eixo de dobra) horizontal
- Lineação de estiramento
- Lineação mineral
- Foliação milonítica
- Acamadamento
- Acamadamento vertical
- Clivagem
- Clivagem de fratura vertical

Recursos Minerais

- Depósito. Sn - estanho, F - flúor, In - índio, PO - pedra ornamental

Análises Geocronológicas

- Datação U - Pb (TIMS) Idade de cristalização

CONVENÇÕES CARTOGRÁFICAS

- Povoado
- Propriedade Rural
- Campo de pouso
- Cemitério
- Escola
- Igreja
- Cidade / Localidade
- Rio Intermitente
- Rio Perene
- Massa de água
- Estrada Pavimentada
- Acidente Geográfico / Serra

MAPA GEOLÓGICO
ESCALA 1:100.000

2 1 0 2 4 6 km

PROJEÇÃO UNIVERSAL TRANSVERSA DE MERCATOR

Origem da quilometragem UTM: equador e Meridiano Central 45ºW acrescidas as constantes: 10.000Km e 500Km, respectivamente.

Datum horizontal: WGS84

Declinação magnética do centro da folha 17º 09', cresce anualmente 8.6' 2007

CONTRATO - CPRM - UnB 071/PR/2005

SEÇÃO GEOLÓGICA ESQUEMÁTICA A - B

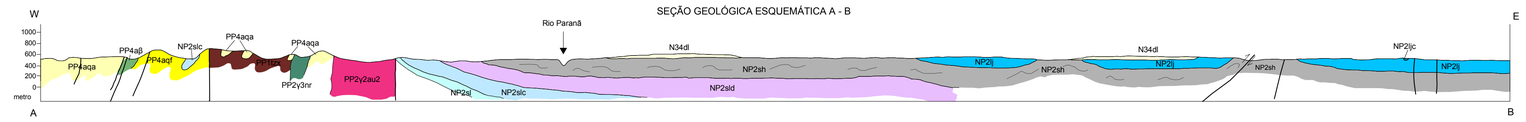

SEÇÃO GEOLÓGICA ESQUEMÁTICA C - D

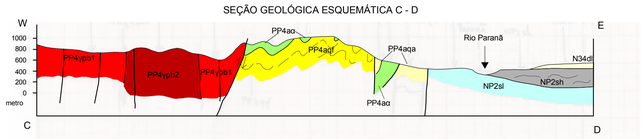

Escala Horizontal 1:100.000

Escala Vertical 1:50.000

ARTICULAÇÃO DA FOLHA

PORTO REAL	MONTE ALEGRE DE GOIÁS	SD-23-V-B-IV
CAVALCANTE	NOVA ROMA	SD-23-V-D-I
FLORES DE GOIÁS	IACIARA	SD23-V-D-IV

13° 13°30' 14° 14°30' 43°30' 43° 42°30' 46°

LOCALIZAÇÃO DA FOLHA

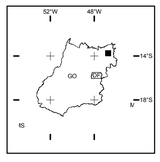

CRÉDITO DA BASE CARTOGRÁFICA

Base Planimétrica digital obtida da carta impressa Nova Roma publicada em 1976 pela DSG, ajustada às imagens do Mosaico GeoCover - 2.000, ortorretificado e georreferenciado segundo o datum WGS84, de imagens ETM+ do Landsat 7 resultante da fusão das bandas 7,4,2 e 8, com resolução espacial de 14,25 metros. Esta base foi editada e atualizada pela Divisão de Cartografia - DICART, para atender ao mapeamento temático do Serviço Geológico do Brasil - CPRM

AUTORES
Carlos José Souza de Alvarenga
Marcel Auguste Dardenne
Nilson Francisquini Botelho
Otávio Nunes
Borges de Lima
Tati de Almeida

COLABORADORES
Edi Mendes Guimarães, Elton Luiz Dantas
José Eloi Guimarães, Campos, Márcia
Abrahão Moura, Paulo Roberto Meneses
Reinhardt Adolfo Fuck
BASE CARTOGRÁFICA DIGITAL
Tati de Almeida
Cristiane Oliveira de Moura
GEOPROCESSAMENTO
Tati de Almeida

COORDENAÇÃO GERAL
Carlos J.S. de Alvarenga

CPRM Serviço Geológico do Brasil

SUPERVISÃO TÉCNICA
Luiz Carlos da Silva

APOIO TÉCNICO
DEGEO: Edilton José dos Santos

REVISÃO DA CARTOGRAFIA GEOLÓGICA
DIGEOB: Inácio Medeiros Delgado, Reginaldo Alves dos Santos, Nelson Custódio Silveira Filho, Augusto Pedreira
Apoio Técnico de Campo: Reginaldo Alves dos Santos

REVISÃO DA CARTOGRAFIA DIGITAL E CONTROLE DE ENTRADA DE DADOS NO GEOBANK
DIGEOP: João Henrique Gonçalves, Antonio Rabelo Sampaio, Patrícia Duringer Jacques, Maria Angélica Silva B. F. Ramos, Elias Bernard da S. do E. Santo, Adelina Adulina Magalhães, Tatiana Santos Araújo